

©1995 г.

РЕКОМБИНАЦИЯ НЕРАВНОВЕСНЫХ НОСИТЕЛЕЙ В ТРЕКАХ ТЯЖЕЛЫХ ИОНОВ В Si¹

В.К. Еремин, И.Н. Ильяшенко, Н.Б. Строкан, Б.Шмидт[†]

Физико-технический институт им. А.Ф.Иоффе Российской академии наук,
194021, Санкт-Петербург, Россия

[†]Институт физики ионных пучков и исследования
материалов Исследовательского Центра г.Россendorf,
Дрезден, Германия, D-01314

(Получена 20 июня 1994 г. Принята к печати 27 июня 1994 г.)

Взаимодействие ядерных излучений с полупроводниками, как правило, исследуется раздельно в двух аспектах. Во-первых, рассматривается проявление возникающих дефектов структуры в деградации электрофизических свойств. Во-вторых, изучается поведение заряда неравновесных носителей, что практически важно для полупроводниковых детекторов. В работе на примере Si показано, что при облучении осколками деления ²⁵²Cf («тяжелыми ионами») возникающие первичные дефекты структуры и неравновесные электроны и дырки необходимо рассматривать как единую систему. Взаимодействие дефектов и носителей заряда определяет как рекомбинацию носителей, так и самих первичных пар Френкеля. Для доли прорекомбинировавших носителей это приводит к новой (логарифмической) зависимости от напряженности электрического поля в детекторе вместо гиперболического закона для случая α -частиц («легких ионов»).

Введение

Рассматриваемый вопрос о рекомбинации неравновесных носителей в треках ионов имеет прямое отношение к известной в полупроводниковой ядерной спектрометрии проблеме дефицита амплитуды сигнала детектора. Подчеркнем, что в работе не затрагиваются вопросы собственно спектрометрии (потери энергии во входном окне, флуктуации рекомбинации, разрешение по энергии и т.д.). Детекторы используются как ионизационные камеры, т.е. как структуры, в которых, измеряя амплитуду сигнала в зависимости от напряженности поля, методически удобно исследовать физические аспекты рекомбинации.

Изучению переноса неравновесного заряда в детекторах посвящена обширная литература. Остановимся на последних работах, где

¹ Работа выполнялась в рамках совместного российско-германского проекта WTZ X229.14 «Мелкие и заглубленные переходы».

детально исследовался перенос в Si-детекторах α -частиц. В [1-4] для современных планарных структур и традиционных поверхностно-барьерных детекторов были определены значения относительных потерь заряда $\lambda_\alpha \leq 10^{-3}$ и, соответственно, эффективного времени жизни неравновесных носителей в треке α -частицы $\tau_{\text{eff}} \simeq 10$ мкс. Эти величины резко контрастируют с аналогичными данными для тяжелых ионов [5-7]. Действительно, в этих работах наблюдались значения относительных потерь заряда λ от нескольких единиц до десятков процентов и $\tau_{\text{eff}} \leq 0.2$ мкс, т.е. отличие составляет 1.5 порядка. В настоящей работе проведен анализ физических процессов, ответственных за расхождение параметров, характеризующих масштаб рекомбинации.

Ранее, в работах [5,6], большие потери заряда объяснялись рекомбинацией на границе Au-n-Si поверхностно-барьерного детектора. Однако требующееся для интерпретации значение скорости поверхностной рекомбинации $S \simeq 10^4$ см/с представляется нам нереальным. В экспериментах на поверхностно-барьерных детекторах [1] мы получили для треков α -частиц $S = 300-400$ см/с.

В работе [7], напротив, предложено рассматривать рекомбинацию в объеме трека в виде цилиндра радиусом $r_0 \simeq 3$ мкм. Полагалось, что в этой области существенны нарушения решетки. Определяемое ими время жизни $\tau_0 = 20-50$ мкс зависит от плотности носителей Δn как $\tau_0 \sim (\Delta n)^{-1}$. Высокая плотность электронно-дырочных пар в треке тяжелого иона $\Delta n = \Delta p \simeq 10^{18}$ см⁻³ и приводит к малому значению $\tau_{\text{eff}} \simeq 0.2$ мкс. Как подчеркивают авторы работы, значения r_0 и τ_0 являются подгоночными параметрами модели. В этой связи отметим два, на наш взгляд, физически не оправданных момента — нереально большой радиус для проявления нарушений решетки Si ($r_0 = 3$ мкм) и неверную аппроксимацию $\tau(\Delta n)$ ($\tau \rightarrow 0$ при $\Delta n \rightarrow \infty$). Важно, что в экспериментах упомянутых выше работ [5-7] зависимость потерь заряда λ от напряженности поля F была гиперболической, $\lambda \sim F^{-1}$.

Для адекватного объяснения расхождения потерь заряда в треках легких и тяжелых ионов следует сопоставить условия формирования сигнала. Общей для треков ионов является стадия плазмы, когда вследствие высокой плотности электронно-дырочных пар внешнее поле экранируется. Для длительности состояния плазмы получена зависимость $t_{\text{pl}} = k/F$, где k зависит от энергии и пробега иона [8]. На стадии плазмы происходит рекомбинация неравновесных носителей. Далее, по мере диффузионально-дрейфового разрушения плазмы, электроны и дырки дрейфуют к соответствующим электродам, претерпевая захват (локализацию).

Различие в треках ионов заключается в большей (в ~ 100 раз) плотности носителей заряда $\Delta n = \Delta p$ для тяжелых ионов. Это при равных полях приводит к большим длительностям t_{pl} . Кроме того, при торможении тяжелые ионы производят более сильные повреждения решетки Si.

Рассмотрим вначале, можно ли объяснить резкое возрастание потерь заряда для тяжелых ионов за счет большей плотности носителей.

Рекомбинация в условиях высокого уровня инъекции

Основным механизмом рекомбинации неравновесных носителей в Si является захват примесными центрами [9]. В общем случае учитывается как захват электронов и дырок на уровень M (переходы 1, 2), так и обратный выброс носителей в зоны проводимости и валентную (см. вставку к рис. 1). Очевидно, что в условиях малых и средних возбуждений, когда выброс значителен, основной вклад в рекомбинацию вносят глубокие уровни. Отметим, что в детекторах используется чистый Si с содержанием глубоких центров $< 10^{10} \text{ см}^{-3}$. Последнее обстоятельство, казалось бы, исключает рекомбинацию через примесные центры. Однако специфика высокого уровня инъекции ($\Delta n = \Delta p \gg n_0$, n_0 — равновесная концентрация электронов) приводит к снижению роли выброса. Как следствие, в рекомбинацию вовлекаются мелкие уровни, в том числе доноры.

Для оценки эффекта рассмотрим уровень с концентрацией N_M , лежащий в верхней половине запрещенной зоны на глубине ΔE_M . Пусть произведения (σv_{th}) эффективного сечения захвата σ и тепловой скорости v_{th} для электронов и дырок будут равны. Тогда зависимость $\tau(\Delta n)$ имеет вид

$$\tau = \frac{1}{N_M \sigma v_{th}} \frac{1 + [2\Delta n + N_c \exp(-\Delta E_M/kT)]/n_0}{1 + \Delta n/n_0}. \quad (1)$$

Здесь $N_c = 2.8 \cdot 10^{19} \text{ см}^{-3}$ — плотность состояний в зоне проводимости.

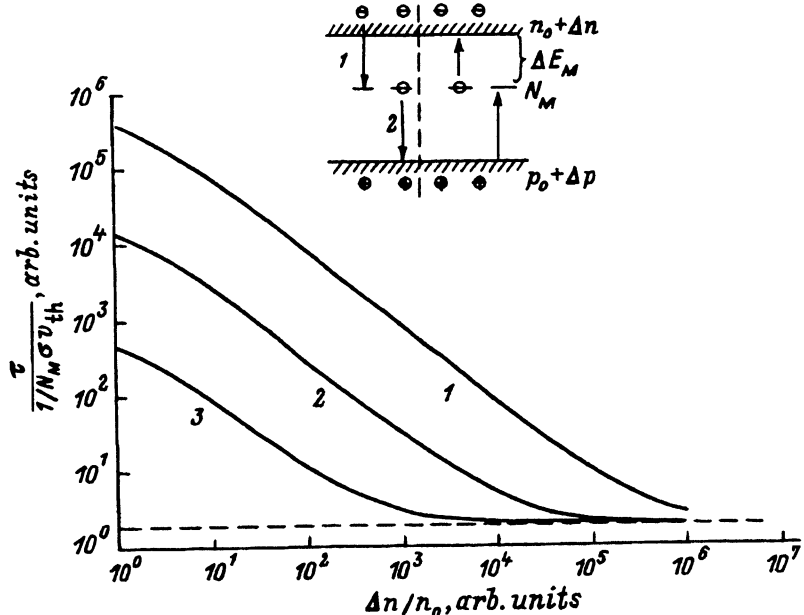


Рис. 1. Зависимость времени жизни носителей тока от уровня инъекции для различной глубины залегания рекомбинационного уровня ΔE_M , мВ: 1 — 45, 2 — 130, 3 — 220. На вставке — основные переходы электронов между уровнем M и разрешенными зонами; при высоком уровне инъекции доминирует захват неравновесных электронов и дырок.

Из формулы (1) следует, что с ростом $\Delta n/n_0$ τ уменьшается. Падение происходит тем сильнее, чем меньше глубина расположения уровня M . Так, для донорной примеси фосфора (глубина уровня $\Delta E_p = 45$ мВ) в диапазоне $\Delta n/n_0[0, \infty]$ τ может уменьшаться в $\simeq 10^6$ раз. Однако падение происходит до значения, определяемого сечением захвата и концентрацией центров, $\tau_\infty = 2/N_M \sigma v_{th}$ (рис. 1).

В высокомоментном детекторном n -Si можно принять, что концентрация фосфора $< 6 \cdot 10^{12} \text{ см}^{-3}$ (удельное сопротивление $\rho > 600 \text{ Ом} \cdot \text{см}$). Согласно [10], при комнатной температуре для донорной примеси фосфора $\sigma \simeq 10^{-15} \text{ см}^2$. Поэтому при рекомбинации через доноры величина времени жизни остается не менее $\tau \simeq 6.6 \text{ мкм}$.

Другой возможной причиной падения τ с ростом Δn является нелинейная оже-рекомбинация. Действительно, начальная плотность носителей в треке $\Delta n = \Delta p \simeq 10^{18} \text{ см}^{-3}$ при значении коэффициента ударной рекомбинации $C = 2 \cdot 10^{-30} \text{ см}^6/\text{с}$ [11, 12] приводит к величине $\tau_{Auger} = 1/C \Delta n^2 = 0.5 \text{ мкс}$. Проследим, как может проявиться оже-рекомбинация в реальных условиях растекающегося в радиальном направлении трека.

Для распределения неравновесных пар воспользуемся известным выражением для диффузационного растекания носителей, сосредоточенных в начальный момент в бесконечно тонкой нити:

$$\Delta n(r, t) = \frac{N_0}{4\pi D t R} \exp(-r^2/4Dt). \quad (2)$$

Здесь D — коэффициент амбиполярной диффузии, R — средний пробег иона, N_0 — число созданных неравновесных пар электрон–дырка.

Тогда потери носителей в интервале времени dt в элементе объема dV при ударной рекомбинации составят

$$dN_0 = \Delta n(r, t) dV \frac{dt}{\tau_{Auger}} = C \Delta n^3(r, t) dV dt. \quad (3)$$

Полное число рекомбинировавших пар получается интегрированием:

$$\Delta N_0 = C \int_0^\infty dt \int_0^\infty \Delta n^3(r, t) 2\pi R r dr. \quad (4)$$

Для устранения расходности интеграла по времени в $t = 0$ учтем, что в начальный момент времени трек неравновесных носителей имеет конечный радиус $r(0)$. Таким образом, интегрирование можно проводить с момента $t_0 = r^2(0)/4D$. Окончательно получаем для относительных потерь на оже-рекомбинацию

$$\lambda = \frac{\Delta N_0}{N_0} = \frac{C}{12\pi^2} \left(\frac{N_0}{R} \right)^2 \frac{1}{Dr^2(0)}. \quad (5)$$

Для величины $r(0)$ обычно принимается $r(0) \simeq 1 \text{ мкм}$, что приводит к величине потерь $\lambda \simeq 2.6 \cdot 10^{-5}$, т.е. к весьма малой величине.

Эксперимент

Рассмотренные выше механизмы не объясняют больших потерь заряда в треках тяжелых ионов. Поэтому необходимо детально сопоставить ход относительных потерь заряда λ в зависимости от напряженности электрического поля F для случая α -частиц и тяжелых ионов.

Поскольку в прежних работах исследовался сравнительно узкий диапазон высоких полей, мы использовали современные планарные и поверхностно-барьерные структуры из высокоомного Si, в которых реализуются и низкие напряженности поля ($< 1 \text{ кВ/см}$).

В эксперименте посредством техники амплитудного анализа определялась величина $\lambda = f(F)$ для α -частиц ^{238}Pu (энергия $E_\alpha = 5.5 \text{ МэВ}$) и легкого осколка деления ^{252}Cf (энергия $E_f = 95 \text{ МэВ}$). Тракт усиления сигнала включал предусилитель 142A, усилитель 571 и дискриминатор 408A фирмы ORTEC. Время $RC - RC$ -формирования сигнала в усилителе составляло 2 мкс. Стабильность усиления контролировалась генератором тестовых импульсов 419. Анализатором служил комплекс АМА-03Ф; цена канала составляла $\simeq 0.35 \text{ кэВ}$ для α -частиц и $\simeq 0.20 \text{ МэВ}$ для осколков деления.

Измерения показали, что для α -частиц потери заряда $\lambda_\alpha \sim F^{-1}$ (рис. 2) в полном соответствии с предшествующими исследованиями [1-3]. В то же время для осколков зависимость относительных потерь заряда от поля $\lambda_f(F)$ хорошо аппроксимируется логарифмической функцией

$$\lambda_f(F) = \gamma \ln(F^{-1}) + \text{const} \quad (6)$$

(рис. 3). Таким образом, из эксперимента следует, что условия потерь заряда в треках α -частиц и осколков деления сугубо различны.²

Как было показано выше, различия в плотности неравновесного заряда недостаточны, чтобы подключился механизм резкого падения τ — оже-рекомбинация. Остается проследить за различиями во взаимодействии с решеткой при торможении в Si легких и тяжелых ионов. С этой целью производилось моделирование торможения по программе TRIM.

Образцы

№ образца	Тип структурь	$\gamma \cdot 10^3$		$\rho, \text{кОм} \cdot \text{см}$
		электроны	дырки	
1*	Планарная	39.1	—	6.5
2*	Планарная	43.3	—	6.5
3**	Au-n-Si-Al	—	34.3	$\simeq 14.0$
4***	Au-n-Si-Al	—	45.4	0.65

* — образцы получены из ЭЛМА (ELMA), г. Зеленоград; ** — образец фирмы ORTEC, тип TB 16-25-1000 (полностью обедненный); *** — лабораторный образец, $d = 50 \text{ мкм}$ (полностью обедненный).

² Зависимости $\lambda_\alpha(F)$ и $\lambda_f(F)$ для всех используемых в работе образцов были идентичны. Поэтому на рисунках приводятся данные для одного из образцов — образец 1 (см. таблицу).

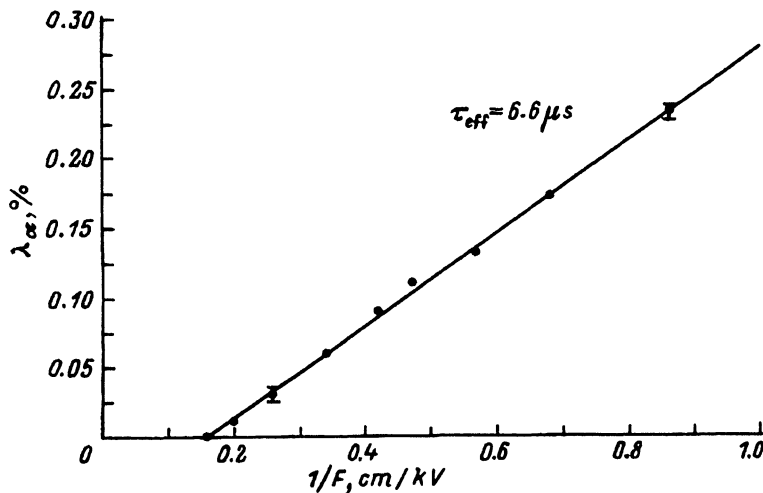


Рис. 2. Типичная зависимость дефицита амплитуды сигнала от α -частиц ^{238}Pu как функция обратной величины напряженности электрического поля в детекторе. За нуль отсчета принято значение амплитуды при максимальном поле.

Физическая концепция программы изложена в [13]. Было получено, что число образованных вакансий N_V составляет ≈ 16 и 240 штук на 1 МэВ для α -частиц ^{238}Pu и осколков ^{252}Cf соответственно. Соотношение общего числа вакансий, образованных осколками и α -частицами в треке, составляет $2.3 \cdot 10^4 : 90$ в пользу осколков. На наш взгляд, именно в сугубо больших нарушениях Si следует искать природу потерь заряда для осколков, описываемых математически как $\lambda_f \sim \ln(F)$.

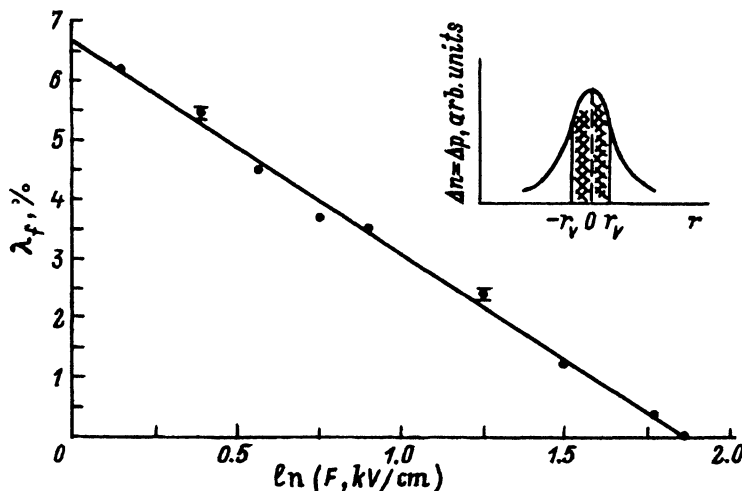


Рис. 3. Типичная зависимость дефицита амплитуды сигнала от легких осколков деления ^{252}Cf как функция логарифма напряженности электрического поля в детекторе. За нуль отсчета принято значение амплитуды при максимальном поле. На вставке — распределение по радиусу концентрации носителей в треке осколка в произвольный момент времени; заштрихована область нарушений структуры Si вблизи оси трека.

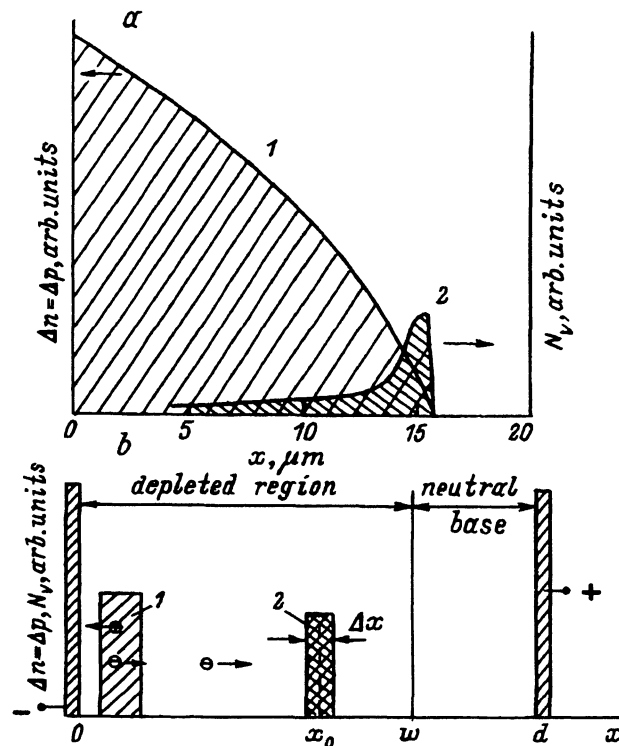


Рис. 4. Распределение по глубине Si x уровня ионизации (1) и дефектов структуры (2) при торможении осколков ^{252}Cf : а — расчет по программе TRIM; б — упрощенная схема для анализа характера захвата при переносе электронов (рекомбинация-локализация).

Моделирование позволило выявить пространственную картинку трека иона. Здесь также есть различие с α -частицами, у которых дефектообразование и ионизация смешены к концу пробега. В случае осколков подавляющее количество дефектов также сосредоточено в конце пробега, однако основная ионизация происходит в начале трека (рис. 4, а).

Рассмотрим характер захвата заряда в треке тяжелого осколка (рекомбинация-локализация).

Приведенное распределение созданных в начальный момент времени неравновесных носителей и дефектов схематично представлено на рис. 4, б. Здесь области ионизации и дефектообразования для наглядности разнесены по координате. Видно, что в структуре детектора электронам при своем движении к электроду d приходится дрейфовать через разрушенную область при координате x_0 . Согласно закону индукции (см., например, [14]) перенесенный парой электрон-дырка заряд равен 1 при прохождении полного промежутка конденсатора $[0, w]$. В случае захвата электрона в слое Δx амплитуда будет меньше на величину $(w - x_0)/w$. Для величины захваченного заряда имеем

$$\frac{\Delta q}{q_0} = \frac{t_{dr}}{\tau_V} = \frac{\Delta x}{v_{dr}} \frac{v_{th} \sigma n_V}{\Delta x} = \sigma n_V \frac{v_{th}}{v_{dr}} = \frac{A}{v_{dr}}. \quad (7)$$

Здесь t_{dr} — время дрейфа на участке Δx , где создано число вакансий n_V [см⁻²] с эффективным сечением захвата σ ; τ_V — время жизни в разрушенном слое, v_{dr} — дрейфовая скорость, A — константа, имеющая размерность скорости.

С учетом закона индукции получаем значение дефицита амплитуды сигнала в зависимости от напряженности поля:

$$\lambda(F) = \frac{w - x_0}{w} \frac{A}{v_{dr}} = \frac{A}{v_{dr}(F)} \left(1 - \frac{x_0}{w(F)} \right). \quad (8)$$

Из формулы (8) вытекает методическая возможность выявления монополярного захвата носителей в структуре «ионизационной камеры». Именно при таком захвате функция $\lambda(F)$ должна изменяться при достижении режима полного обеднения структуры ($w = d$). Такой опыт был поставлен на детекторе 4, имевшем толщину $d = 50$ мкм. Обеднение структуры (фиксированное по изменению емкости от напряжения смещения U) достигалось при $U = 13-15$ В. Однако ход $\lambda(F)$ изменений не претерпевал. Этот факт свидетельствует о том, что потери заряда в треке осколка происходят путем рекомбинации неравновесных электронов и дырок. Проявлений захвата электронов (локализации) в ходе их дрейфового переноса не наблюдается.

Далее, если рекомбинация происходит на стадии существования плазмы, то не должно наблюдаться различий в ходе $\lambda(F)$ для дрейфа электронов или дырок. Действительно, проведя облучение со стороны n^+ -контакта на образцах 3 и 4 в режиме переобеднения (когда поле на контакте > 0), мы получили для коэффициента γ в формуле (6) величины согласно таблице. Видно, что отклонение от среднего значения $\bar{\gamma} = 40.5 \cdot 10^{-3}$ не превышает 15%. При этом вариация знака переносимых носителей и типа структуры детектора на значение γ не влияет.

На основании изложенного выше физическая картина потерь заряда в треках осколков представляется следующей. Осколки при торможении в Si создают большое количество нарушений структуры. Неравновесные электроны и дырки, находясь в состоянии плазмы (экранирования электрического поля), рекомбинируют на индуцированных осколками центрах. На стадии дрейфа в области поля детектора монополярный захват носителей (локализация) не существует. Формально ход дефицита амплитуды сигнала в зависимости от поля описывается как $\lambda_f \sim \ln(F^{-1})$. Перейдем теперь к простой математической модели рекомбинации на дефектах в треке тяжелого иона.

Модель рекомбинации в треке тяжелого иона

Допустим, что трек в начальный момент представляется в виде тонкой нити с линейной плотностью носителей $N_0/R = E_f/(\epsilon R)$. Здесь $\epsilon = 3.6$ эВ — средняя энергия образования пары электрон-дырка. Как упоминалось выше, из-за высокой плотности носители экранируют электрическое поле внутри трека на период существования плазмы t_{pl} . Поэтому распределение концентрации по радиусу во времени определяется радиальной диффузией и имеет гауссову форму согласно формуле (2) (см. вставку к рис. 3).

Будем считать, что в первом приближении область нарушений представляет собой цилиндр радиуса r_V и характеризуется значением времени жизни $\tau_V \sim N_V^{-1}$. В остальном объеме, охваченном растекающимся треком, время жизни велико и рекомбинацию можно не учитывать. Тогда доля рекомбинировавших за время t_{pl} пар определится как

$$\frac{\Delta N}{N_0} = \int_0^{t_{\text{pl}}} \frac{dt}{\tau_V} \int_0^{r_V} \left(\frac{\exp(-r^2/4Dt)}{4\pi Dt} \right) 2\pi r dr. \quad (9)$$

Интегрируя по радиусу, получаем

$$\frac{\Delta N}{N_0} = \int_0^{t_{\text{pl}}} [1 - \exp(-r_V^2/4Dt)] \frac{dt}{\tau_V}. \quad (10)$$

Учтем, что интегрирование по времени правомерно проводить начиная со значений времени релаксации по импульсу $\theta > 10^{-12}$ с, т.е. когда можно оперировать понятиями коэффициента диффузии и времени жизни. Тогда, поскольку $r_V \leq 10^2$ Å, имеем на всем интервале интегрирования $r_V^2 \ll 4Dt$, что позволяет ограничиться линейным членом в разложении экспоненты.³ В выражении под интегралом, строго говоря, зависит от времени и величина $\tau_V = (\pi r_V^2 R) / (\sigma v_{\text{th}} N_V)$. Действительно, в возникшей системе «неравновесные носители — первичные дефекты структуры» происходят процессы релаксации. Носители термализуются, следовательно, изменяется их эффективное сечение захвата. Пары Френкеля, окруженные электронно-дырочной плазмой, интенсивно перезаряжаются. При этом близко расположенные пары рекомбинируют, изменения число вакансий N_V . Возможно также образование более сложных центров — комплексов.⁴

Учтем указанные процессы введением параметра t_0 как «времени задержки» для установления квазистационарного режима рекомбинации, когда $\sigma N_V \simeq \text{const}$. Тогда t_0 выступает как нижний предел интегрирования и для потерь заряда имеем

$$\lambda_f = \frac{\Delta N_0}{N_0} = \frac{r_V^2}{4D\tau_V} \int_{t_0}^{t_{\text{pl}}} \frac{dt}{t} = \frac{v_{\text{th}} N_V \sigma}{4\pi D R} \ln \frac{t_{\text{pl}}}{t_0}. \quad (11)$$

Характерно, что радиус области нарушений r_V в результирующее выражение не вошел. Формула (11) содержит универсальные для Si константы: тепловую скорость v_{th} , коэффициент диффузии D , количество образованных ионом вакансий N_V и пробег иона R . Другие три

³ Величина 10^2 Å соответствует пробегу атома отдачи с энергией 5 кэВ. Отметим, что доля случаев с передачей таких энергий атомам Si от осколка мала.

⁴ Согласно [15], перезарядка компонент пар Френкеля существенно изменяет критическое для рекомбинации расстояние r_{cr} . Так, для первоначально созданной пары $r_{\text{cr}} \simeq 10$ Å и определяется упругими силами деформации. В случае перезарядки (захвата вакансией электрона, а межузельным атомом — дырки) доминирует кулоновское притяжение и r_{cr} возрастает до 35 Å.

величины выступают как параметры: эффективное сечение захвата σ для системы образующихся центров; время существования плазмы t_{pl} , т.е. время диффузионно-дрейфового растекания трека в поле напряженностью F ; время t_0 как начало квазистационарной стадии рекомбинации.

Как отмечалось выше, $t_{pl} = k/F$. Для осколков ^{252}Cf $k \simeq 10^{-4}$ см·с/В. Таким образом, для функции $\lambda_f(F)$ получаем выражение, аналогичное экспериментально установленной зависимости (см. (6)):

$$\lambda_f = \gamma \ln(F^{-1}) + \text{const.}$$

Физический смысл коэффициента γ , согласно (11), есть $\gamma = (v_{th} N_V \sigma) / (4\pi D R)$. Это позволяет по экспериментальным значениям γ (см. таблицу) определить эффективное сечение захвата $\sigma = 2.5 \times 10^{-14}$ см $^{-2}$. Значительная величина σ говорит об интенсивной рекомбинации через дефекты структуры в треке осколка.

Заключение

Строго говоря, геометрия возмущений в треке (рис. 4, а) соответствует развитой модели рекомбинации для не слишком больших полей. Действительно, необходимо время для диффузии пар электрон-дырка к области сосредоточения дефектов. Именно тогда реализуется ситуация «обволакивания» дефектов растекающимся пакетом носителей.

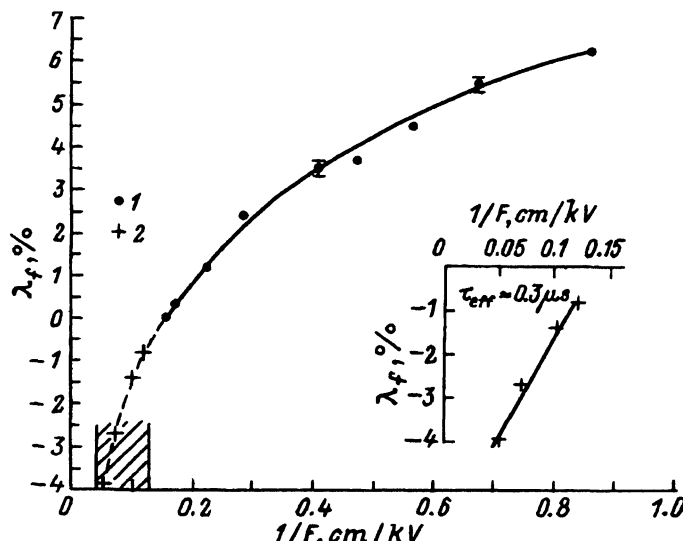


Рис. 5. Зависимость дефицита амплитуды сигнала осколков деления ^{252}Cf от обратной величины напряженности поля для образца 1 (точки 1 и сплошная линия). Пунктир — экстраполяция по формуле (6) в область сильных полей, точки 2 — значения λ_f в соответствии с (6) для четырех значений напряженности поля. На вставке — фрагмент зависимости $\lambda_f(F^{-1})$; видно, что в узком интервале полей зависимость может трактоваться как линейная с $\tau_{eff} = 0.3$ мкс.

Следует ожидать, что в весьма сильных полях, когда время плазмы трека станет меньше, чем время диффузии к дефектам, характер функции $\lambda(F)$ претерпит изменения.

В этом отношении представляет интерес сопоставление логарифмической зависимости согласно формуле (6) и экспериментальных результатов работ [5–7]. Обратимся к рис. 5, где для образца 1 приведен рассчитанный на основании формулы (6) ход потерь заряда в области сильных полей, используемых в [5–7]. Видно, что в сравнительно узком интервале полей можно трактовать зависимость как линейную с $\tau_{\text{eff}} \simeq 0.3$ мкс. Это согласуется со средним значением $\bar{\tau}_{\text{eff}} = 0.22$ мкс в работе [7].

В качестве выводов работы мы предлагаем следующее.

1. Рассмотрена зависимость потерь собранного при облучении Si-детекторов тяжелыми ионами заряда от напряженности поля в широком диапазоне полей F . Экспериментально полученная функция $\lambda_f(F)$ имеет логарифмический характер, $\lambda_f \sim \ln(F^{-1})$.

2. Предложена модель рекомбинации неравновесных носителей на системе первичных нестационарных дефектов, создаваемых в треке единичного иона. Дефекты структуры полагаются сосредоточенными вблизи оси трека; распределение носителей в начальный момент времени представляется в виде тонкой нити. Математический анализ модели приводит к логарифмической функции $\lambda_f \sim \ln(F^{-1})$.

3. Коэффициент пропорциональности в полученной зависимости $\gamma = (v_{th} N V \sigma) / (4\pi D R)$ в силу универсальности входящих в него констант является постоянной величиной. Экспериментальное значение для четырех исследуемых образцов $\gamma = 40.5 \cdot 10^{-3} \pm 15\%$. Соответственно, оценка эффективного сечения захвата носителей первичными дефектами дает величину $\sigma = 2.5 \cdot 10^{-14}$ см².

Список литературы

- [1] Е.М. Вербицкая, В.К. Еремин, А.М. Иванов, Н.Б. Срокан, У.Ш. Туребеков. ПТЭ, вып. 6, 64 (1990).
- [2] Е.М. Вербицкая, В.К. Еремин, А.М. Маляренко, Н.Б. Срокан, В.Л. Суханов, И. Борани, Б. Шмидт. ПТЭ, вып. 3, 56 (1991).
- [3] E. Verbitskaya, V. Eremin, N. Strokan, J. Kemmer, B. Schmidt, J. von Borani. Nucl. Instrum. Meth. B, **84**, 51 (1994).
- [4] Е.М. Вербицкая, В.К. Еремин, А.М. Маляренко, Н.Б. Срокан, В.Л. Суханов, И. Борани, Б. Шмидт. ФТП, **27**, 2052 (1993).
- [5] В.Ф. Кушнирук. Препринт ОИЯИ 13-11889 (Дубна, 1978).
- [6] В.Ф. Кушнирук. Препринт ОИЯИ Р13-11933 (Дубна, 1978).
- [7] E.C. Finch, M. Asghar, M. Forte, Nucl. Instr. Meth., **163**, 467 (1979).
- [8] W. Seibt, K.E. Sundstrom, P.A. Tove. Nucl. Instrum. Meth., **113**, 317 (1973).
- [9] W. Shockley, W.T. Read. Phys. Rev., **87**, 835 (1952).
- [10] V.N. Abakumov, V.I. Perel, I.N. Yassievich. In: *Nonradiative recombination in Semiconductors* (Amsterdam, 1991) p. 320.
- [11] E. Vablonovich, T. Gmitter. Appl. Phys. Lett. **49**, 587 (1986).
- [12] Л.А. Делимова. ФТП, **15**, 1349 (1992).
- [13] *Ion Implantation. Science and Technology*, ed. by J.F. Ziegler. (Acad. Press. Inc., 1984). p. 635.
- [14] В.К. Еремин, С.Г. Даненгирш, Н.Б. Срокан, Н.И. Тиснек. ФТП, **8**, 556 (1974).
- [15] В.В. Емцев, Т.В. Машовец, В.В. Михневич. ФТП, **26**, 22 (1992).

Редактор Л.В. Шаронова

Recombination of nonequilibrium carriers in tracks of heavy ions in Si

V.K.Yeremin, I.N.Ilyashenko, N.B.Strokan, B. Schmidt[†]

A.F.Ioffe Physicotechnical Institute, Russian Academy of Sciences, 194021 St.Petersburg,
Russia

[†]Institute for Physics of Ion Beams and Material Research, Rossendorf Research Center,
D-01314 Dresden, Germany
